

## 内 容 提 要

本书是在复旦大学电子工程系讲授“光纤理论与测量”的讲义基础上编写而成的，它对光纤传播特性、测量原理和测量方法都作了系统的论述，是光纤通信的基础理论读物。全书共分六章，第一章介绍光纤的模式理论；第二章应用射线光学原理讨论多模光纤；三、四、五章分别讨论光纤内的色散、损耗和耦合诸方面的技术性理论问题；最后一章介绍光纤测量的基本方法。

本书可以作为大专院校无线电系、电子工程系、物理系的教学参考书，也可供从事光纤通信、激光、微波、生物等专业的科技工作者参考。

## 光纤理论与测量

周树同编译

复旦大学出版社出版

(上海国权路579号)

新华书店上海发行所发行 复旦大学印刷厂印刷

开本850×1168 1/32 印张8.5 插页0 字数240,000

1988年5月第1版 1988年5月第1次印刷

印数1—5,000

ISBN7—309—00004—8/O·01

定价：1.70元

## 前　　言

光纤通信是一门新兴的科学技术，发展极其迅速。

目前，在第四次产业革命的浪潮中，光纤通信方兴未艾。它不但可以沟通全世界和全国的信息交流渠道，而且还能组成局部地区网络(LAN)和综合服务的网络(ISDN)；借助用户网络可以使可视电话、会议电视、医疗、教育等服务范围不断扩大，而且人们对闭路电视、高质量的立体声广播等要求才能付诸实施。除通信领域的应用之外，光纤还广泛地应用于光纤陀螺导航、各种物理量(如温度、电流、压力、磁场、加速度)测量等科学领域。

光纤具有低损耗、宽频带、抗干扰性能优越等一系列优点，它必将得到日益广泛的应用。本书着重讨论光纤传输理论，对光纤的非通信应用未作专门讨论。本书在编译过程中所用的主要参考资料列于书后的书目[1]～[3]，所涉及的大部分原始参考文献可以在这些资料中找到。

由于作者水平有限，错误和不妥之处在所难免，请读者批评指正。

作　者  
于复旦大学  
1985年12月

# 目 录

## 第一章 光纤的模式理论

§1.1 概述.....	1
§1.2 麦克斯韦方程.....	3
§1.3 波动方程.....	6
§1.4 光纤的导模.....	15
§1.5 光纤的辐射模.....	30
§1.6 正交关系.....	32
§1.7 导模解的近似表达式.....	34
§1.8 弱导模、光纤的远场辐射图样.....	44
§1.9 基模的高斯近似.....	54
§1.10 基模的等效阶跃型光纤 .....	61
§1.11 光纤的拉制 .....	70

## 第二章 多模光纤理论

§2.1 射线方程.....	73
§2.2 圆柱坐标中的射线方程.....	76
§2.3 平方律光纤的射线轨迹.....	85
§2.4 双曲正割和洛伦兹光纤的射线轨迹.....	88
§2.5 WKB 法 .....	92
§2.6 WKB 法用于多模光纤 .....	101
§2.7 泄漏波.....	108
§2.8 数值孔径.....	113

§2.9 模式选择激发和模式延迟差别	117
--------------------	-----

### 第三章 光纤的色散

§3.1 概述	126
§3.2 材料色散	127
§3.3 单模光纤内的脉冲失真	131
§3.4 单模光纤内的色散	146
§3.5 多模光纤内的色散	150

### 第四章 光纤的损耗

§4.1 概述	162
§4.2 吸收损耗	164
§4.3 瑞利散射	168
§4.4 普遍的散射过程和模式耦合	176

### 第五章 光纤的耦合

§5.1 两个平行介质波导的耦合模方程	178
§5.2 $HE_{11}$ 模间的耦合	185
§5.3 串音	190
§5.4 多模光纤的模间耦合	192
§5.5 光源和光纤的耦合	209

### 第六章 光纤测量

§6.1 光纤的初测	219
§6.2 损耗测量	220
§6.3 折射率分布的测量	225

§6.4 光纤色散测量——时域法.....	239
§6.5 光纤色散测量——频域法.....	242
§6.6 光时域反射计.....	248
§6.7 单模光纤 $V$ 值测量.....	253
§6.8 用远场法测量单模光纤参数.....	256
<b>主要参考书目.....</b>	<b>261</b>

# 第一章 光纤的模式理论

本章应用麦克斯韦方程论述了阶跃型光纤的电磁场结构和传播形式，阐述了光纤中导模、辐射模的定义和性质。给出了实际应用中一些有用的近似表达式，并与光纤在弱导模近似下线性偏振模的解做了比较。最后两节采用变分法求解折射率任意变化的光纤中的基模( $HE_{11}$ 模)，证明了这些基模可以用某种等效阶跃型光纤模场来近似，从而提出了等效阶跃光纤的概念。因此，阶跃型光纤中的电磁场模式为本章讨论的基础。

## §1.1 概述

光纤通信是一门新兴的技术。1966年英国工程师高锟\*预言光纤可用作通信的传输线，尽管当时制成的光纤，损耗高达1000分贝/公里，但他估计光纤的损耗可以做到低于20分贝/公里。经过几年研制，这种低损耗的光纤终于在1970年制成。目前，工作波长0.85微米的光纤损耗已低于2分贝/公里，工作波长1.30微米的光纤损耗则可低于0.5分贝/公里，而工作波长1.55微米的光纤损耗甚至低于0.2分贝/公里。从1976年起，世界各国在0.85微米左右的短波长范围内相继建立起许多光纤通信系统。工作在1.3微米和1.5微米波长范围内

\* 高锟为英籍华人，他在1966年提出新的见解，认为光纤的损耗是能够被降低的，于是一些机构开始光纤的研究工作。

的单模和多模光纤系统也屡见不鲜了。

光纤具有低损耗、宽频带的特点。例如，一条单模光纤已经实现传输 180 吉比特率·公里以上的信息量，远超过现有微波通信系统的带宽。光纤的低损耗和宽频带使它在通信中显示了强大的生命力。此外，光纤线径细，便于通过拥挤的城市管道，便于用光缆来代替电缆。另外它没有一般电子通信系统的接地、外界感应、电磁辐射、串音干扰等问题，还具有对温度的敏感性不大，制作材料来源丰富等优点，因此光纤通信日益受到人们的重视，它将逐步取代现有的通信系统。

光纤是一种引导光波的介质波导，由介质材料制成的一个圆柱体（图1.1.1），中心部分是纤芯；芯子外面环绕一层或数层折射率较中心部分低的介质，叫做包层，通常最外面还有一层起保护作用的套层。光

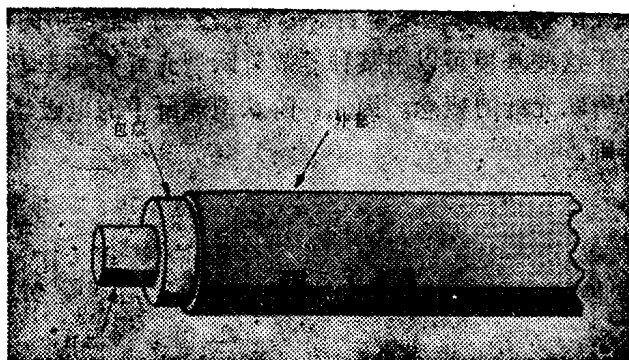


图 1.1.1 由纤芯、包层以及外套组成的光纤示意图

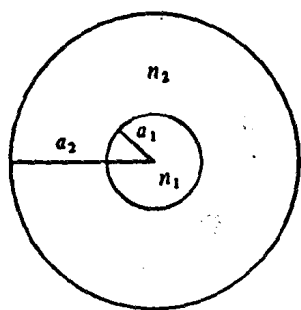


图 1.1.2 常用的光纤截面示意图

纤的光学特性由它的折射率  $n$  的分布所决定，而折射率的分布大致可分成两种情况：一为阶跃型光纤，芯子中的折射率  $n_1$  为常数，包层中的折射率  $n_2$  也为常数，并且  $n_2 < n_1$ ；二为梯度型光纤，芯子的折射率  $n$  在中心处最大，随着半径的增大而逐渐减小，但包层中的折射率  $n_2$  通常为定值。一般情况下，芯子折射率的最低值也始终大于  $n_2$ 。图 1.1.2 给出

了目前常用的光纤横截面示意图。梯度型光纤常应用于多模光纤，而阶跃型光纤多数应用于单模光纤。

采用包层结构有两个原因。第一，在介质波导中，电磁场并不完全集中在折射率为  $n_1$  的介质区内，在芯子外面的包层内，也有电磁场在传播。如果让光纤的支撑物直接与纤芯接触，势必引起光波场的散射和失真。由于在芯子外面电磁场将随半径增大按指数形式很快衰减，因而经很薄的一层介质层  $n_2$  之后再与支撑物接触，便可避免电磁场的失真和散射；第二，与光纤导引场的机构有关。对于给定的频率，光纤只能支持有限的模式。如果芯子的半径  $a_1$  比被导引波的波长大很多，这光纤就可能支持很多的模式，为了得到更好的传输性能，常常希望被导引的模式数尽可能地小。适当选择光纤的尺寸甚至可以使光纤单模工作，允许单模工作的光芯尺寸强烈地依赖于  $n_1/n_2$  的数值。比值  $n_1/n_2$  越大， $a_1$  就越小。在实际生产中很难使光纤芯子的直径小于 0.5 微米。当比值  $n_1/n_2$  接近于 1 时，即使芯子直径比工作波长大很多倍而仍能使光纤保持单模工作。

光纤的某些特性和金属波导管相似。在一个给定的频率，都有一有限数目的导模；如果波导形状偏离了理想的几何形状，就有模式转换的问题。但是，在金属波导管中只有导模，模式转换只限于在有限的导模之间交换功率。光纤的模式中除了有限数目的导模外，还有连续辐射模。导模只有分裂的传播常数值，而辐射模却有无限个，而且传播常数构成连续谱。光纤的外形偏离理想的几何形状不但会引起导模之间功率转换，而且要把功率转移到辐射模的连续谱中去。散射到连续谱中去的功率又会辐射到介质波导的外面而构成损耗。下面我们就用麦克斯韦方程来讨论介质光波导。

## § 1.2 麦克斯韦方程

众所周知，电磁场可用一组麦克斯韦方程来描述：

$$\nabla \times \mathbf{H} = \partial \mathbf{D} / \partial t \quad (1.2-1)$$

$$\nabla \times \mathbf{E} = -\frac{\partial \mathbf{B}}{\partial t} \quad (1.2-2)$$

$$\nabla \cdot \mathbf{D} = 0 \quad (1.2-3)$$

$$\nabla \cdot \mathbf{B} = 0 \quad (1.2-4)$$

$$\mathbf{D} = \epsilon \mathbf{E} \quad (1.2-5)$$

$$\mathbf{B} = \mu \mathbf{H} \quad (1.2-6)$$

在(1.2-1)式中,已经忽略了电流项,因为很少会遇到用电流来产生光的情形。因此,在麦克斯韦方程组中,我们也略去了  $\mathbf{J} = \sigma \mathbf{E}$ 。

方程(1.2-1)和(1.2-2)中的电矢量  $\mathbf{D}$  和  $\mathbf{E}$ ,以及磁矢量  $\mathbf{B}$  和  $\mathbf{H}$  之间的关系是很复杂的。一般说来,这不但涉及到电磁场对介质的作用,而且介质的极化、磁化等又受到介质结构的制约。如果介质各向异性、极化和磁化的方向与外场不一致,这时  $\mathbf{D}$  和  $\mathbf{E}$ ,  $\mathbf{B}$  和  $\mathbf{H}$  之间的关系用张量表示。尤其当介质中传播的电磁场功率很大时,这两对量之间的关系会出现非线性效应,而非线性效应的出现又会导致在其中传播的光产生很强的频率转换、光增益及光脉冲在传播中产生压缩或增宽等新的现象。光纤的非线性效应已经超出了本书所讨论的范围,这里不作专门介绍。就目前光通信的实际情况而言,光源的功率并不大,光纤使用的介质材料是各向同性的,因此,可以认为  $\mathbf{D}$  和  $\mathbf{E}$ ,  $\mathbf{B}$  和  $\mathbf{H}$  之间满足简单的线性关系:

$$\mathbf{D} = \epsilon \mathbf{E}$$

$$\mathbf{B} = \mu \mathbf{H}$$

其中  $\epsilon$  为介电常数,  $\mu$  为磁导率。对非磁性材料  $\mu$  非常接近于 1。此外,功率流密度矢量(玻印廷矢量)

$$\mathbf{s} = \mathbf{E} \times \mathbf{H} \quad (1.2-7)$$

它描述了电磁场的功率流。借此可以计算沿表面  $A$  的法向矢量  $\mathbf{n}$  经表面  $A$  向外流出的总功率:

$$P = \int_A \mathbf{s} \cdot \mathbf{n} dA \quad (1.2-8)$$

在很多情况下,可把光束的传播想象为电磁场能量的流动。

我们经常要处理以某一确定频率振荡的单色电磁场。所以使用复

数记号更为方便。其表达式为

$$F(x, y, z, t) = \operatorname{Re}\{G(x, y, z)e^{i\omega t}\} \quad (1.2-9)$$

$$\omega = 2\pi f \quad (1.2-10)$$

式中， $\omega$  为角频率， $G(x, y, z)$  是复数的模，符号  $\operatorname{Re}\{\}$  表示取括号中的实数部分。实际应用中，常把符号  $\operatorname{Re}\{\}$  从方程式中略去，即简写为

$$F(x, y, z, t) = G(x, y, z)e^{i\omega t} \quad (1.2-11)$$

应用这一复数记号时，玻印廷矢量(1.2-7)可以写成下列形式

$$\bar{s} = \frac{1}{2}[\mathbf{E} \times \mathbf{H}^*] \quad (1.2-12)$$

\* 号表示对复数取共轭。在(1.2-12)式中， $1/2$  来源于对时间求平均。

上加上一划表示对时间求平均。(1.2-12)式的实数部分是实际的时间平均功率流矢量。

麦克斯韦方程组加上描述介质性质的方程，则可描述电磁系统各种客观电动力学问题，只有在边界条件已知的情况下，才能唯一地确定麦克斯韦方程组的解。

在介电常数为非均匀结构的问题中，如果不存在介电常数的不连续区，一般常用的唯一边界条件是场在无穷远处消失，并在空间任何处都有界。要求场值在无穷远处消失就会导致导模，其特性是场受光学结构限制，不会因为辐射而损失能量。我们将会碰到这类问题的解。

在两种介质的交界面处，由于介质性质的突变，电磁场也会随之发生变化，这时常用的边界条件是

$$(\mathbf{H}_t)_1 = (\mathbf{H}_t)_2 \quad (1.2-13)$$

$$(\mathbf{E}_t)_1 = (\mathbf{E}_t)_2 \quad (1.2-14)$$

式中  $t$  代表场在交界面的切向分量。(1.2-13)和(1.2-14)表明交界面上电场和磁场的切向分量连续。这两个条件和场在无穷远处为零的边界条件一起，就可以选择适合我们特定问题的解。

此外，在交界面处电位移矢量  $\mathbf{D}$  和磁感应矢量  $\mathbf{B}$  的垂直分量也是连续的。但对时变的交流场，这一边界条件与(1.2-13)和(1.2-14)式并不独立。只有在静电场静磁场问题中， $\mathbf{D}$  和  $\mathbf{B}$  的垂直分量连续的条件和  $\mathbf{E}$ 、 $\mathbf{H}$  切向分量连续的条件是独立的。对交流时变场，如果

(1.2-13)和(1.2-14)式满足，则 $\mathbf{D}$ 和 $\mathbf{B}$ 的垂直分量连续就自动满足。由于光纤中传播的都是时变场，因而只要用(1.2-13)式和(1.2-14)式这两个边界条件就可以了。

在理想金属的情况下，常常使用另一种边界条件，这就是导体表面上电场的切向分量为零。而且在这种情况下，不需要再用磁场的边界条件了。在光频范围，人们通常不用理想金属的边界条件，因为现有的任何金属都不能满足这一要求，此时金属的介电常数为复数。在这种情况下，上述的电场和磁场的切向分量连续的边界条件仍然完全适用，并且给出完整的描述。

### §1.3 波动方程

为了应用方便起见，我们对麦氏方程进行改写，将(1.2-4)代入(1.2-2)，对(1.2-2)式取旋度，可得

$$\nabla \times (\nabla \times \mathbf{E}) = -\mu \frac{\partial}{\partial t} (\nabla \times \mathbf{H}) \quad (1.3-1)$$

在推导(1.3-1)式时，假定 $\mu$ 是和空间坐标无关的常数，把(1.2-1)和(1.2-3)代入(1.3-1)得到关于矢量 $\mathbf{E}$ 的方程

$$\nabla \times (\nabla \times \mathbf{E}) + \epsilon \mu \frac{\partial^2 \mathbf{E}}{\partial t^2} = 0 \quad (1.3-2)$$

这个方程式，即使 $\epsilon$ 在空间变化时，也是正确的。利用

$$\nabla \times (\nabla \times \mathbf{E}) = \nabla (\nabla \cdot \mathbf{E}) - \nabla^2 \mathbf{E} \quad (1.3-3)$$

再利用(1.2-3)和(1.2-5)，(1.3-2)成为

$$\nabla^2 \mathbf{E} + \nabla \left[ \mathbf{E} \cdot \frac{\nabla \epsilon}{\epsilon} \right] = \epsilon \mu \frac{\partial^2 \mathbf{E}}{\partial t^2} \quad (1.3-4a)$$

用相似的方法，可以得到磁场满足的方程。

$$\nabla^2 \mathbf{H} + \frac{\nabla \epsilon}{\epsilon} \times \nabla \times \mathbf{H} = \epsilon \mu \frac{\partial^2 \mathbf{H}}{\partial t^2} \quad (1.3-4b)$$

当 $\epsilon$ 与空间坐标无关时，方程(1.3-4)简化为以下的波动方程

$$\nabla^2 \mathbf{E} = \epsilon \mu \frac{\partial^2 \mathbf{E}}{\partial t^2} \quad (1.3-5a)$$

$$\nabla^2 \mathbf{H} = \epsilon \mu \frac{\partial^2 \mathbf{H}}{\partial t^2} \quad (1.3-5b)$$

在直角坐标中,方程式(1.3-5)可用标量方程表示:

$$\nabla^2 \psi = \frac{1}{v^2} \frac{\partial^2 \psi}{\partial t^2} \quad (1.3-6)$$

其中

$$v = \frac{1}{\sqrt{\epsilon \mu}} \quad (1.3-7)$$

它是光在介电常数为  $\epsilon/\epsilon_0$  的介质中的传播速度。

当  $\epsilon$  是空间坐标的函数时,只要  $\epsilon$  的变化在一个光波长的范围内变化很小,电场矢量的每一个分量还是近似地满足(1.3-6)式。我们将会谈到这一点。

为了阐明波动方程解的物理形态,不妨把  $\psi$  写成为:

$$\psi = f\left(t - \frac{1}{v} \mathbf{n} \cdot \mathbf{r}\right) \quad (1.3-8)$$

式中,矢量  $\mathbf{r}$  的分量就是所要观察的场的坐标,  $\mathbf{n}$  是传播方向的单位矢量,要使(1.3-8)式是波动方程(1.3-6)的解,速度  $v$  必须和频率无关。

为了说明(1.3-8)式确实代表平面波,不妨令它的宗量为  $u$ :

$$u = t - \frac{1}{v} \mathbf{n} \cdot \mathbf{r} \quad (1.3-9)$$

当  $u$  为任意给定值  $u_0$  时,函数有一对应的固定值  $f(u_0)$ ,对于每一固定时刻  $t$ ,要得到固定的  $u_0$  值,一定要有关系式  $\mathbf{n} \cdot \mathbf{r} = \text{常数}$ 。这说明同一时刻  $t$  在空间中垂直于  $\mathbf{n}$  方向的某一个平面上都可以得到同样的  $f(u_0)$ 。

另一方面,若时间改变  $\Delta t$ ,空间位置从  $\mathbf{r}$  变为  $\mathbf{r} + \Delta \mathbf{r}$ ,而且使  $\Delta t$  和  $\Delta \mathbf{r}$  满足关系式

$$\mathbf{n} \cdot \Delta \mathbf{r} = v \Delta t \quad (1.3-10)$$

则宗量  $u$  仍为  $u_0$ 。(1.3-9)式说明经过  $\Delta t$  之后,同一函数值  $f(u_0)$  从  $\mathbf{r}$  沿着  $\mathbf{n}$  方向移动到了  $\mathbf{r} + \Delta \mathbf{r}$  处,即  $f(u_0)$  以速度  $v$  在空间移动。很显然,如果把(1.3-8)式写成

$$\psi = f\left(t + \frac{1}{v} \mathbf{n} \cdot \mathbf{r}\right) \quad (1.3-8a)$$

$\psi$  就代表在方向  $-\mathbf{n}$  上移动的平面波。

在许多波动方程的解中，特别重要的解是在空间的任何一点都对时间作正弦变化的平面波，并可以用下面的形式来表示

$$g = A \cos\left(\omega t - \frac{\omega}{v} \mathbf{n} \cdot \mathbf{r}\right)$$

式中  $\omega$  称为角频率， $\omega = 2\pi f$ 。为了方便起见，引进波矢量

$$\mathbf{k} = \frac{\omega}{v} \mathbf{n} \quad (1.3-11)$$

则单色平面波又可表示为

$$g = A \cos(\omega t - \mathbf{k} \cdot \mathbf{r}) \quad (1.3-12)$$

如果我们让  $\mathbf{r}$  有一增量

$$\Delta \mathbf{r} = \lambda \mathbf{n}$$

而要求函数(1.3-12)式在  $\mathbf{r}$  从  $\mathbf{r}$  改变到  $\mathbf{r} + \Delta \mathbf{r}$  时，函数正好改变一个周期，则

$$k\lambda = 2\pi$$

或  $\mathbf{k} = \frac{2\pi}{\lambda} = \frac{\omega}{v} = \omega(\epsilon\mu)^{1/2} \quad (1.3-13)$

这里

$$k = |\mathbf{k}| \quad (1.3-14)$$

是波矢量的绝对值。

(1.3-12)式在物理上特别重要，因为除了真空之外，对大多数的介质， $v$  不是常数而是依赖于频率

$$v = v(\omega)$$

即不同频率的正弦波以不同的相速度传播，这一现象叫做色散。所以，严格地说，平面波的一般形式解(1.3-8)只能适用于真空。在其他介质中，当色散不很严重时，它可以作为一个合理的近似。现在就来计算一个一般的扰动  $f(t)$  通过色散介质时的情况。为了考察这个扰动通过色散介质的情况，必须通过傅里叶积分变换把这个任意函数分解为许多正弦波的叠加。为了方便起见，设波沿  $z$  轴方向传播，并将初始扰动平面取为  $z = 0$  的平面，则  $f(t)$  可表示为

$$f(z, t) = \frac{1}{\pi} \int_0^{\infty} h(\omega) \cos(\omega t - k_z + \theta(\omega)) d\omega \quad (1.3-15)$$

引入复变函数

$$\phi(\omega) = h(\omega) e^{i\theta(\omega)} \quad (1.3-16)$$

为了把相位和幅度的定义扩展到负频率, 定义( $k$ 也变号)

$$\theta(-\omega) = -\theta(\omega) \quad (1.3-17)$$

和  $h(-\omega) = h(\omega) \quad (1.3-18)$

改写(1.3-15)式, 把实变函数的傅里叶变换写成复数的傅里叶变换

$$f(z, t) = \frac{1}{2\pi} \int_{-\infty}^{\infty} \phi(\omega) e^{i(\omega t - k z)} d\omega \quad (1.3-19)$$

函数  $\phi(\omega)$  的幅度由已知的在  $z=0$  处波的形状决定

$$\phi(\omega) = \int_{-\infty}^{\infty} f(0, t) e^{-i\omega t} dt \quad (1.3-20)$$

当  $v$  依赖于频率时, (1.3-19)式不是波动方程(1.3-6)的解。因为波动方程只有当没有色散(即  $v$  和频率无关, 或者函数  $f(z, t)$  可以用很窄的频谱来表示)时才有意义。但(1.3-19)式正确地描述了一般的平面波通过色散介质的传播情况。

很容易把场通过色散介质时的概念推广到扰动是非平面波的情况。为此, 我们再次引入正弦平面波

$$g(x, y, z, t) = \phi(k_x, k_y, \omega) \exp[i(\omega t - \mathbf{k} \cdot \mathbf{r})] \quad (1.3-21)$$

(1.3-21)同(1.3-12)的差别只在于, 其一, 这里采用复数形式来描述正弦波; 其二, 这里的振幅  $\phi$  依赖于独立变量  $k_x, k_y$  和  $\omega$ , 因为  $\mathbf{k}$  的幅值  $k$  必须服从(1.3-13)式, 它的分量必然有一个是不独立的。我们可以用独立变量来表示  $k_z$ ,

$$k_z = \sqrt{\left(\frac{\omega}{v}\right)^2 - k_x^2 - k_y^2} \quad (1.3-22)$$

当根号内的表达式成为负数时,  $k_z$  变成虚数。在这种情况下, 不再有平面波而只有迅衰波。迅衰波也是波动方程的解。将(1.3-21)式表示的所有可能的频率和所有可能方向的波叠加, 可以得到波在色散介质中传播的一般表达式。

$$f(x, y, z, t) = \frac{1}{(2\pi)^3} \int_{-\infty}^{\infty} d\omega \int_{-\infty}^{\infty} dk_x \int_{-\infty}^{\infty} dk_y \phi(k_x, k_y, \omega) \exp[i(\omega t - k_x x - k_y y - k_z z)] \quad (1.3-23)$$

在这里必须由(1.3-22)式来计算波矢量的  $z$  分量, 如果用实函数记号, 并考虑到被积函数是  $\omega$  的偶函数, (1.3-23) 又可以写成

$$f(x, y, z, t) = \frac{1}{4\pi^3} \int_0^{\infty} d\omega \int_{-\infty}^{\infty} dk_x \int_{-\infty}^{\infty} dk_y |\phi(k_x, k_y, \omega)| \cos(\omega t - k_x x - k_y y - k_z z + \theta) \quad (1.3-24)$$

其中  $\theta$  表示相位因子, 这个积分代表了最一般的波, 它不但包含了在各个方向传播的各种可能频率的正弦波, 而且也包含了迅衰波。对纯正弦波扰动, 可以略去(1.3-24)式中对  $\omega$  的积分。

人们可能要问为什么在自由空间有迅衰波存在呢, 因为通常认为迅衰波是波导工作在截止频率以下的特性。在我们讨论的情况下, 迅衰波和全反射现象密切相关。当波从高介电常数材料进入低介电常数材料时会发生全反射现象。为此考虑(1.3-21)式所示的正弦波, 它以(1.3-13)式决定的波长沿  $k$  方向传播。为了简单起见, 假定波沿  $x-z$  平

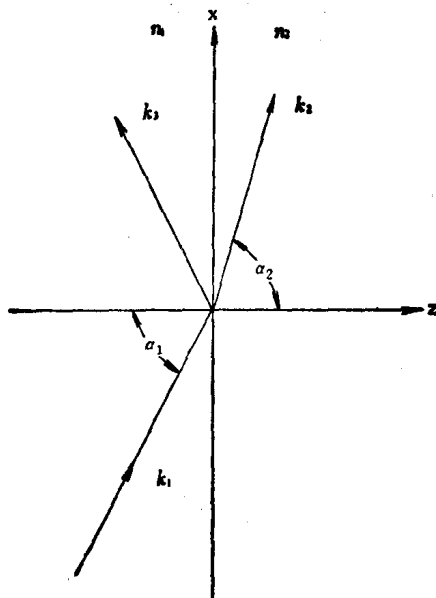


图 1.3.1 波在界面上的折射与反射

面传播,如图 1.3.1 所示,所以  $k_y = 0$ 。我们假定  $n_1 > n_2$ , 由折射定律和图 1.3.1 可见

$$\frac{\sin \alpha_1}{\sin \alpha_2} = \frac{n_2}{n_1} \quad (1.3-25)$$

$$\sin \alpha_1 = \frac{k_{1s}}{k_1} \quad (1.3-26)$$

$$\sin \alpha_2 = \frac{k_{2s}}{k_2} \quad (1.3-27)$$

电磁场的边界条件要求

$$k_{1s} = k_{2s} = k_{3s} \quad (1.3-28)$$

由(1.3-25)可见,

$$\sin \alpha_2 = \frac{n_1}{n_2} \sin \alpha_1 > \sin \alpha_1 \quad (1.3-29)$$

当  $\alpha_1$  增加而尚未达到  $90^\circ$  时,  $\sin \alpha_2$  即可能等于 1; 当  $\alpha_1 = \sin^{-1}\left(\frac{n_2}{n_1}\right)$

时, 折射波在介质中几乎沿平行于界面的方向传播。 $\alpha_1^o = \sin^{-1}\left(\frac{n_2}{n_1}\right)$

叫做临界角。当入射角大于临界角  $\alpha_1^o$  时,

$$\sin \alpha_2 = \frac{k_{2s}}{k_2} > 1 \quad (1.3-30)$$

任何实数角  $\alpha_1$  都不能满足上式, 所以只有反射波而没有折射波。电磁波从光密介质进入光疏介质时, 介面上发生全反射现象, 即当  $\alpha_1$  大于临界角  $\alpha_1^o$  时, 波就全反射, 但此时(1.3-25)到(1.3-29)的分析仍然正确。由(1.3-30)得

$$k_{2s} > k_2 = \omega n_2 \sqrt{\epsilon_0 \mu_0} \quad (1.3-31)$$

因此

$$\begin{aligned} k_{2s} &= \sqrt{\omega^2 n_2^2 \mu_0 \epsilon_0 - k_2^2} \\ &= i \sqrt{k_2^2 - \omega^2 n_2^2 \mu_0 \epsilon_0} \end{aligned} \quad (1.3-32)$$

即  $k_{2s}$  为虚数, 可见介质 2 中, 场在  $z$  方向的传播按  $\exp(-|k_{2s}|z)$  的指数形式衰减, 即场的反应是在  $z$  方向上收缩, 因此就会产生衰减场。

以上我们只讨论了波动方程(1.3-6), 它只不过是(1.3-4)式的特

例而已。比较方程(1.3-4)和(1.3-6)可以发现忽略了(1.3-4)式左边第二项后,就可以用简单的波动方程(1.3-6)来代替(1.3-4)式。

在(1.3-4)式中,左端第一项和右端是同一个数量级的。由于电场  $E$  的表达式可由(1.3-12)的叠加来形成,因而(1.3-4)式右端项的数量级为

$$\varepsilon\mu \frac{\partial^2 E}{\partial t^2} = \omega^2 \varepsilon \mu E = \frac{\omega^2}{v^2} E = \left(\frac{2\pi}{\lambda}\right)^2 E \quad (1.3-33)$$

为了估计(1.3-4)左端第二项的数量级,我们用沿某方向  $s$  的方向导数来代替  $\nabla$  算符,则由  $E$  的(1.3-21)式的形式,并利用  $k = \frac{2\pi}{\lambda}$ ,得

$$\nabla \left( E \cdot \frac{\nabla \varepsilon}{\varepsilon} \right) \approx \frac{\partial}{\partial S} \left( E \cdot \frac{\nabla \varepsilon}{\varepsilon} \right) \approx \frac{2\pi}{\lambda} E \cdot \frac{\nabla \varepsilon}{\varepsilon} + E \cdot \frac{\partial}{\partial S} \left( \frac{\nabla \varepsilon}{\varepsilon} \right) \quad (1.3-34)$$

我们感兴趣的是在(1.3-34)式中右端的第二项比第一项小很多的情形。把(1.3-34)同(1.3-4)右端进行比较,即与(1.3-33)比较,得这两项相比的数量级为:

$$R = \frac{\nabla \left( E \cdot \frac{\nabla \varepsilon}{\varepsilon} \right)}{\varepsilon \mu \frac{\partial^2 E}{\partial t^2}} \approx \frac{\frac{2\pi}{\lambda} \cdot \frac{|\nabla \varepsilon|}{\varepsilon}}{\left(\frac{2\pi}{\lambda}\right)^2} = \frac{1}{2\pi} \lambda \frac{|\nabla \varepsilon|}{\varepsilon} \approx \frac{1}{2\pi} \lambda \frac{\varepsilon_2 - \varepsilon_1}{\varepsilon_2 \Delta S} \quad (1.3-35)$$

上式最后一步把  $|\nabla \varepsilon|$  取为和波传播方向垂直、且距离为  $\Delta S$ 。两点间介电常数的相对差值  $(\varepsilon_2 - \varepsilon_1)/\varepsilon_2$ 。若取  $\Delta S = \lambda$ ,则(1.3-35)成为

$$R = \frac{1}{2\pi} \frac{\varepsilon_2 - \varepsilon_1}{\varepsilon_2} \quad (1.3-36)$$

如果我们希望忽略(1.3-4)式左端的第二项,就要求  $R \ll 1$ 。在非均匀的光学介质中这一条件经常是满足的。我们发现,用非均匀连续的介电常数的介质材料制成的光波导中,大多数情况下均满足  $R \ll 1$ 。所以可用解波动方程(1.3-6)来代替解方程(1.3-4)。<sup>6</sup> 唯一使(1.3-36)式接近或大于 1 的地方是在两个不同介质的界面处。但是,只要分别求解介质 1 和 2 中的波动方程,再用边界条件把它们联系起来就行。下面来证实忽略(1.3-34)式右端第二项是否合适。这两项之比的大致量级为: